

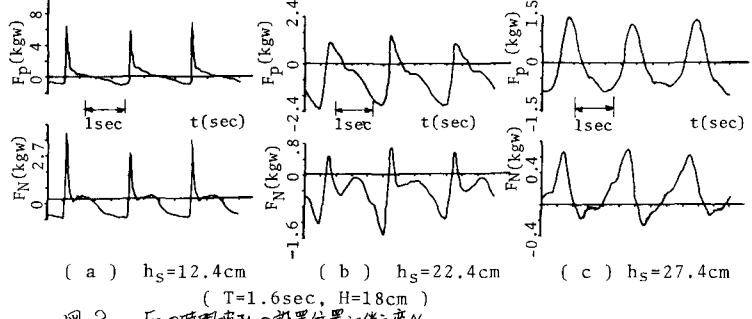
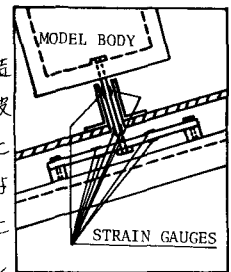
急斜面上の物体に作用する非衝撃波力の特性について

愛媛大学工学部 正会員 中村孝幸
 (株) CRC 正会員〇武名裕史
 吾市役所 先森英裕

1. まえがき: 斜面上の物体に作用する波力の特性は、碎波現象を伴う斜面上の流体場の解明が遅れていることから、従来十分に明らかにされていない。本研究は、流速計などを用いた流体場の実測結果に基づき斜面上の2次元物体に作用する波力の特性を検討したもので、特にMorison波力式の通用性の観点から非衝撃波力に着目してみたものである。

2. 実験装置および実験方法: (1) 実験装置; i) 実験水槽; 長さ 2.8 m の2次元直流水槽で、一端に斜面勾配 1/3 の不透過性斜面が設置しており、模型物体に作用する波力の実験と模型物体がない場合の流体場の測定実験が同時に実行できるように水槽を隔壁板により幅方向にはほぼ等分してある。ii) 波力計; 波力計の振動応答特性を高めるためおよび模型物体に作用する斜面に平行並びに垂直な方向の波力成分を同時に測定できるようにするために、図-1 に示すような両端固定梁に片持梁を剛結した構造形式の波力計を採用了。iii) 流速計; 岩田¹⁾により使用されていられると同様な片持梁形式の流速計 (CLV) 図-1 波力計およびその設置状況を2台製作し、これらを斜面に平行並びに垂直な方向の流速の測定に用いた。iv) 模型物体; 一边 10 cm の正方形断面および直径 9 cm の円形断面を有する2次元物体である。(2) 実験方法; 模型物体を取り付けた波力計を斜面の下側に平行に設置した固定台上を移動させ、斜面上の各位置において物体に作用する斜面に平行な方向の波力成分 (以下 F_p と称す) 並びに斜面に垂直な方向の波力成分 (以下 F_N と称す) を測定した。この際、模型物体の下端と斜面の表面との間の垂直距離 h_s は、2 cm に固定してあり、斜面上における模型物体の各設置位置をその設置水深 h_s で示すならば、 $h_s = 2.4 \text{ cm}$ より 5 cm 毎に $h_s = 32.4 \text{ cm}$ までの 7ヶ所になっている。またこれら F_p と F_N の測定と同時に、2台の CLV をもう一方の水路側の物体中心位置に対応する位置に設置して斜面に平行な方向の流速成分 (以下 V_p と称す) 並びに斜面に垂直な方向の流速成分 (以下 V_N と称す) の測定を行った。そして、波変形についても上記の各測定と同時に波高計およびビデオカメラを用いて観測を行った。採用した波条件は、斜面の法先水深 h を 8.5 cm と一定にして、周期 $T = 1.6, 2.2, 2.8 \text{ sec}$ の3種類および入射波高 $H = 9, 18 \text{ cm}$ の2種類で計6種類である。

3. 衝撃波力と非衝撃波力との分類: 図-2 は、矩形物体を対象に測定された波力時間波形の設置位置に伴う変化を示すもので、図中の(a)より(c)は設置水深が深くなる場合の結果を表わしている。そして図中の(a)では、 F_p, F_N の両者共にピークが鋭く立ち上がる典型的な衝撃波力の時間波形になっていっているのに対して、(c)では緩和振動波形に近い非衝撃波力の時間波形になっていことがあることがわかる。また(b)は、これら2つの場合の遷移領域にある波形と考えられる。図-3 は、矩形物体の F_p を対象にこのようにして判定して衝撃波力、非衝撃波力の分類をそれらの空間的な強度分布と共に示すもので、横軸には碎波点を原点として物体の設置点までの水平距離 x_c を碎波点における微小振幅



波理論による波長 L_b で無次元化したものがとてある。また図中の上下線は、各々 up-rush, down-rush 時における F_p を示し、測定された碎波波高および物体の代表径 D で無次元化してある。そして、図中に付記してある B が衝撃波力の卓越する場合を、D, I あるいはそれらの両者の付記してあるものが非衝撃波力の卓越する場合を各々表す。そしてこの図より、 F_p において衝撃波力が卓越しある位置は、ほぼ碎波点以浅になつていてことや down-rush 時には、衝撃的な波力は作用しないことなどがわかる。本研究では、矩形物体の F_N や円形物体の F_p , F_N についても同様の検討を行つてあるが、衝撃波力の卓越するものは、上記と同様に up-rush 時において碎波点以浅になつていたことを確認している。

4. 非衝撃波力の特性：上記のように分類した非衝撃波力に着目して、Morison 波力式の適用性を検討してみた。まず最初に図-4 に一例を示すように波力、流速、加速度の時間波形を利用した位相差法に基づき、抗力 F_D 、慣性力 F_I の分離・解析を行い、それらの卓越度の波条件および設置位置による変化について調べてみた。この結果の一例を示すのが図-4 であり、図中に付記してある D, I は各々 F_D , F_I が卓越する場合を、D と I の両者が付記してあるのは $F_D \approx F_I$ の場合を示す。この図より、down-rush 時には、 F_D が卓越する場合が多いが、全体的に見ると F_I の卓越する場合もあり、Hudson 公式の説導において使用されていいる作用波力 = 抗力という仮定は必ずしも成立しないことがわかる。また図-5 は分離・解析した F_D , F_I を用いて最大波力 (F_p)_{max} が Morison 波力式に基づき予測され得るかを検討したものである。この図より、(F_p)_{max} の計算値と実測値との比はかなりばらついているものの、全体的に両者はほぼ一致しているものとみなせ、 F_p については Mori son の波力式が適用され得るものと結論される。図-6 では、従来よりの比較データがある斜面上の円柱についての抗力係数 C_D 、慣性係数 C_M の K-C 数による変化を表す。図中には、Sarpkaya²⁾ による水平床上に置かれた円柱の C_D , C_M を比較のため併せて示してある。そしてこれらの図に見らるるように、斜面上の円柱の C_M は、水平床上のそれに比してかなり小さなものである。CD については、ほぼ両者は対応して結果となっている。

本研究では、 F_N についても上記と同様な解析を試みているが、 F_N の時間波形において波の 2 倍周波数成分の卓越する場合などが見られ、 F_N の表現式としては、Morison 波力式よりも揚力式の方が妥当であることを確認している。

参考文献 1) 岩田好一郎、小山祐文、図-5 Morison 波力式による (F_p)_{max} の予測

“波浪における水平床速度の簡便な算定式”、土木学会 第38回 年次学術講演会、講演概要集(II), PP. 303~304, 1983. 2) Sarpkaya, T. and Rajabi, F. 1980. Hydrodynamic Drag on Bottom-Mounted Smooth and Rough Cylinders in Periodic Flow. OTC Paper No. 3761, Houston, TX.

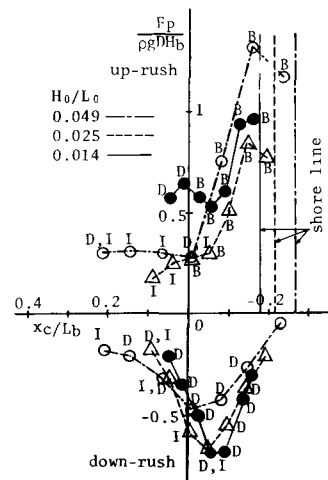


図-3 F_p の空間分布および波力波形に基づく分類

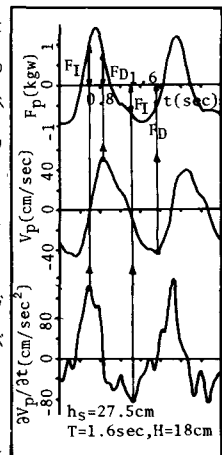


図-4 抗力、慣性力の分離法

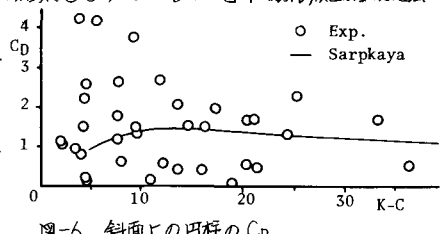
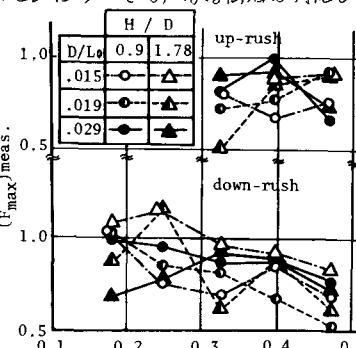


図-6 斜面上の円柱の C_D

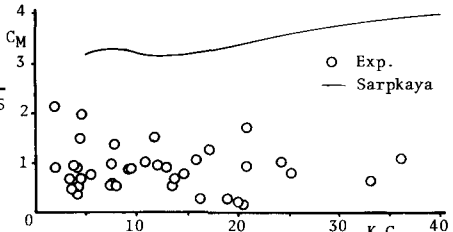


図-7 斜面上の円柱の C_M